Efectos teratológicos cráneo-encefálicos por inhalación crónica con *thinner* de los progenitores, en ratas y humanos

ROSARIO BARROSO-MOGUEL*
JUANA VILLEDA-HERNANDEZ
MARISELA MENDEZ-ARMENTA

Por la importancia y aumento que tiene la drogadicción en México, por inhalación de thinner entre adolescentes y jóvenes, así como su repercusión en los problemas socio-económicos, culturales, legales, de salud (neurológicos y psiquiátricos) nos interesa ahora hacer un estudio comparativo, tanto experimental en ratas, como en humanos que demuestran los efectos embriotóxicos y teratológicos cráneo-encefálicos en crías e hijos de progenitores que han inhalado crónicamente thinner (en el caso de la madre gestante antes, en el inicio y durante el embarazo). Debido a que el thinner inhalado pasa a la sangre y se distribuye en el embrión cruzando la barrera placentaria, causa en muchos casos agenesia de huesos craneales, parcial o total del encéfalo, sumadas a otras lesiones macro y microscópicas, por agresión directa al neuroepitelio germinal. Además se producen abortos o partos prematuros con productos de menor peso y talla y hemorragias placentarias, que sucumben a las pocas horas, días o semanas y si sobreviven manifiestan retraso mental y síntomas neurológicos y psiquiátricos muy alterados.

CLAVES: Drogadicción, lesiones teratológicas, agenesia, cráneo-encefálicos, abortos.

SUMMARY

Inhalation of thinner by youngsters and adolescents is an increasing drug abuse problem in Mexico. It presents serious repercussions upon socio-economic, cultural, legal and health (neurologic and psychiatric) problems. We report a comparative study in humans and rats which demostrate the embryotoxic and craneo encephalic teratologic effects in the children and brood of progenitors who have chronically inhaled thinner (in the case of pregnant women, before, at the beginning and throughout pregnancy). Inhaled thinner passes directly to the blood stream and crosses the placentary barrier freely reaching the embryo. It may cause craneal bone and partial or total encephalon agenesia, added to macro and microscopic lesions secondary to direct agression to the neuroepitelial germ cells. Abortions and premature labor with weight and size underdeveloped products and placentary hemorrhages occur. Usually these die, but if they survive they show trascendental mental retardation, as well as neurologic and psychiatric sequels.

KEY WORDS: Drug addiction, teratologic lesions, agenesia, craneo-encephallic, abortions.

Todos los autores. Laboratorio de Neuromorfología Celular. Unidad de Investigaciones. Instituto Nacional de Neurología y Neurocirugía «Dr. Manuel Velasco Suárez». Secretaría de Salud.

^{*} Académico titular.

Introducción

Por la importancia y trascendencia que tiene en México la drogadicción en niños, adolescentes y jóvenes, que inhalan solventes industriales (principalmente thinner y cemento) y su repercusión en problemas de carácter social, familiar, económico, de enseñanza, productividad, legal, neurológico y psiquiátrico y las lesiones que se producen en todos los órganos, que ya hemos descrito en otros trabajos,18 nos interesa ahora comparar los efectos neuro-tóxicos del thinner en ratas y humanos, que se producen en las crías e hijos de progenitores que han inhalado crónicamente antes y durante la gestación, ya que al pasar por los pulmones y difundido por la sangre de las hembras y mujeres que inician la gestación, se distribuye en el embrión cruzando la barrera placentaria, 9,10 y se producen con frecuencia agenesia de huesos craneales, vértebras, de parte o todo el encéfalo,10 reabsorción de embriones (frecuente en ratas), abortos (en humanos) o productos prematuros con menor peso y talla, que sobreviven sólo pocas horas, días o semanas.

Material y métodos

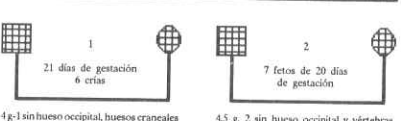
Para el material experimental usamos 14 ratas adultas de 50 días de edad, Cepa Wistar, 7 machos y 7 hembras con un peso promedio de 250 g. Permanecieron separados machos y hembras en dos cajas de policarbonato con tapas de filtro de alambre a temperatura de 21-22°C, humedad relativa de 50 % ± 10 y con ciclo de luz-oscuridad de 12 h. Se les administró alimento y agua ad libitum durante 10 días para su adaptación. De ellas 2 machos y 2 hembras quedaron como testigos; 5 machos y 5 hembras inhalaron en cámara cerrada 1.5 ml de thinner diario en 60 días (total 90 ml). A los 40 días de inhalar (60 ml) se aparearon las parejas 1 y 2 según esquema adjunto (2 machos y 2 hembras), se continuó la inhalación hasta los 60 y 59 días respectivamente. La hembra de la pareja 2 se sacrificó a los 20 días de gestación para recuperar las placentas y estudiar los fetos, primero in situ y después, macroscópicamente su aspecto exterior.

En las parejas 3 y 4 (esquema) los machos fueron testigos y sólo las hembras inhalaron durante 40 días (60 ml), se aparearon y continuó la inhalación durante la gestación. La hembra de la pareja 4 se sacrificó a los 20 días de gestación para recuperar y estudiar las placentas y fetos *in sin*. En las parejas 5 y 6 (esquema), los machos inhalaron 60 días (90 ml) y se aparearon

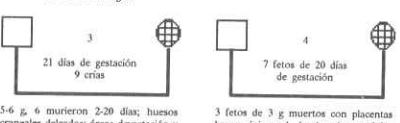
con hembras testigos. La hembra de la pareja 6 se sacrificó a los 20 días de gestación para recuperar las placentas y fetos *in situ*.

Las 24 crías obtenidas de las parejas 1, 3 y 5 se sacrificaron entre 1 a 35 días según su estado general (esquema) y los 23 fetos y placentas de las parejas 2, 4 y 6 se estudiaron y disecaron macroscópicamente en fresco, se describieron las alteraciones (cuadros I y II) e inmediatamente se fijaron en formol a 10 % durante 15 días.

LESIONES TERATOLÓGICAS EN RATAS POR INHALACIÓN DE THINNER



4g-1 sin hueso occipital, huesos craneales delgados; 5 murieron de 1 a 6 días; 1 murió a los 15 días. Todas con áreas de devastación o necrosis dífusas encefálicas 1 atresia esofágica 4.5 g. 2 sin hueso occipital y vértebras cervicales; 1 corazón bilocular. Todas las placentas hemorrágicas. Areas devastación y necrosis difusas encefálicas



5-6 g. 6 murieron 2-20 días; huesos craneales delgados; áreas devastación y necrosis difusas encefálicas; 3 sobrevivieron a 25 días, 7 g de peso

hemorrágicas; 1 de 4 g hemorrágicas frontal y placenta fibro-hemorrágicas; áreas encefálicas múltiples de necrosis y devastación



5-6 g. 7 murieron de 2 a 18 días; 2 sobrevivieron hasta los 35 días; huesos craneates delgados; 1 con imperforación anal; todas con algunas áreas devastación y necrosis



5 g. 7 fetos trompa izquierda; 3 fetos trompa derecha; 6 placentas hemorrágicas; huesos crancales muy delgados; área devastación y necrosis difusas encefálicas

☐ ○ TESTIGOS

■ INHALARON (1.5 ml diarios) = 90 ml de thinner en 60 días

Esquema que muestra la metodología y resultado de las lesiones teratológicas cránco-encefálicas encontradas en las *crías*: a término de las prajes de ratas 1, 3, y 5 y en los *fetos*: a los 20 días de gestación de las parejas 2, 4 y 6. (Explicación en el texto)

Los encéfalos de crías y fetos se incluyeron enteros en parafina, se hicieron cortes de 5 a 7 micras de grosor, teñidos con matoxilina y eosina, tricrómico de Masson e impregnaciones argentoáuricas modificadas por nosotros para cortes en parafina.

De los cortes obtenidos del encéfalo, se hizo el estudio microscópico de: corteza cerebral parietal;

Cuadro I. CRÍAS DE RATAS INHALADAS

	Pareja 1	Pareja 3	Pareja 5
Núm. de crías	6	9	9
Peso al nacer	4 g	5 a 6 g	5 a 6 g
Talla menor de	50 %	40 %	30 %
Murieron	5 de 1 a 6 d 1 a los 15 d	6 de 2 a 20 d 3 a los 25 d: 7 g	7 de 2 a 10 d 2 a los 35 d
Fluesos craneales	Delgados 1 sin occipital	Delgados	Delgados
Encéfalo con áreas difusas	Devastación (acelu- lares o fibras ner- viosas-necrosia	Devastación (acelu- lares) o fibras ner- viosas-necrosis	Devastación (ace- lulares) o fibras nerviosas-necrosis
Lesiones orgá- nicas	1 atresia de esófago	*	Imperforación anal

Cuadro II. FETOS DE RATAS INHALADAS

	Pareja 2	Pareja 4	Pareja 6
Núm. de crías	7	6	10
Peso at nacer	4 a 4.5 g	2 a 4 g	5 g
Talla menor de	50 %	30 %	30 %
Sacrificados	20 días de gestación	20 días de gestación	20 días de gestación
Huesos craneales	Delgados 2 sin occipital y 2 vértebras cervicales	Delgados	Delgados
Encéfalo con áreas difusas	Devastación (acelu- lares y sin fibras nerviosas-necrosis	Devastación (acelu- lares) y sin fibras nerviosas-necrosis; hemorragia frontal	Devastación (ace- lulares) o fibras nerviosas-necrosis
Lesiones orgá- nicas	1 corazón bilocular	2 fetos de 2 g, en parte reabsorbidos	7 fetos útero izq. 3 fetos útero der.
Placentas	7 hemorrágicas	3 hemorrágicas+ne- crosis, 2 fibro-he- morrágicas	6 hemorrágicas

hipocampo; tálamo; cerebelo; puente; substancia reticular; núcleos caudado, coclear y estriado; cápsula interna; cuerpo calloso y tálamo.

El material humano estudiado corresponde a 4 niños prematuros de 6 a 8 meses, 2 del sexo masculino y 2 del femenino, con peso entre 800 g y 2000 g y talla de 22 a 33 cm, hijos de padres y madres crónicamente inhaladores de thinner durante 3 a 5 años (las madres también durante el embarazo).

Caso 1. Niña prematura de 6 meses. Pesó 800 g. Talla de 22 cm. Murió a la hora de nacer. Sus padres, de 22 y 19 años, inhalaron durante 5 y 3 años respectivamente (la madre también durante el embarazo). El encéfalo pesó 200 g con licencefalia, agenesia del lóbulo frontal izquierdo. El conducto ependimario medular es amplio (2 mm de diámetro). La corteza cerebral es irregularmente delgada, mide 2 mm de espesor máximo. (Figura 1).

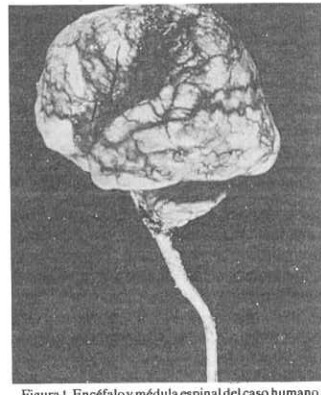


Figura 1. Encéfalo y médula espinal del caso humano 1 (niña prematura de 6 meses), con licencefalia y ageresia del Ióbulo frontal izquierdo, sustituido por cavidad ocupada por líquido cefaloraquídeo y cubierta por leptomeninge con hemorragias difusas

Caso 2. Encéfalo de niño prematuro de 7 meses de embarazo, pesó 1200 g. Murió a las 2 h de nacer. Ambos padres inhaladores de thinner por 4 años (la madre también durante los 3 meses iniciales del embarazo). El encéfalo pesó 350 g con cisuras irregularmente profundas y circunvoluciones marcadas, con agenesia de la porción inferior de los lóbulos frontal y parietal izquierdos, sustituídos por una cavidad ocupada por líquido cefalorraquídeo, cubierta con meninge y en comunicación con el ventrículo lateral izquierdo. La substancia gris cortical mide 3 mm de espesor. Los núcleos grises centrales son pequeños y con aparente distribución normal. (Figura 2).

Caso 3. Niña prematura de 7 meses. Pesó 1800 g. Murió a las 2 h de nacer. Padres inhaladores por 4 años (la madre, durante todo el embarazo). Presenta acrania con anencefalia y ausencia de la primera y segunda vértebras cervicales. En la base del cráneo persisten porciones de los núcleos grises centrales (tálamo e hipotálamo) con focos de necrosis, cubiertos por meninges y cuero cabelludo, globos oculares grandes y salientes, aracnodactilla, piel edematosa y placenta hemorrágica (Figura 3).

Caso 4. Niño de 8 meses. Pesó 2000 g. Murió tres días después de nacer y cuadro de meningitis agregado. Padres inhaladores por 4 años el padre y 3 la madre

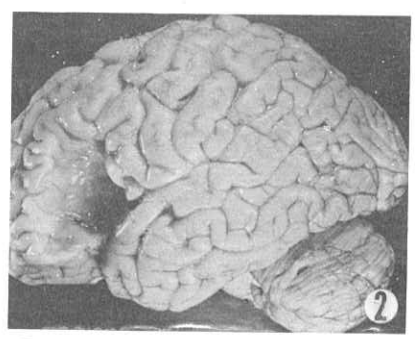


Figura 2. Encéfalo del caso humano 2. Niño prematuro de 7 meses de embarazo con agenesia de porción inferior de lóbulos frontal y parietal izquierdos, sustituidos por cavidad ocupada por líquido cefalorraquídeo, en comunicación con el ventrículo lateral y cubierta con leptomeninge



Figura 3. Caso humano 3. Niña prematura de 7 meses de embarazo con acrania, anencefalia y ausencia de las 2 primeras vértebras cervicales. Aracnodactilia manual, edema intenso en cara y en todo el cuerpo

(también durante los 5 primeros meses del embarazo). Presenta espina bífida y mielo-meningocele cérvico-dorso-lumbar. El meningocele, más desarrollado en la porción cervical, forma una bolsa meníngea con líquido cefalorraquídeo, comunicada con un amplio IV ventrículo y casi del mismo tamaño que la cabeza. El encéfalo pesó 300 g, con cisuras poco profundas y circunvoluciones estrechas (Figura 4).

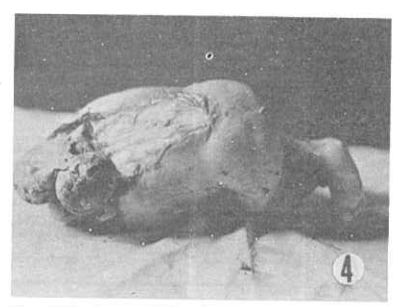


Figura 4. Caso humano 4. Visto dorsalmente con espina bifida cérvico-dorso-lumbar y mielo-meningocele, que desarrolló una bolsa meníngea cervical llena de líquido cefalorraquideo y comunicada con el IV ventrículo y más grande que su cabeza

Resultados

Material experimental. Las 24 crías obtenidas de las parejas^{1,5} (esquema), presentan lesiones comunes y alteraciones teratológicas propias en cada grupo, descritas en el cuadro I. También se anotan los hallazgos teratológicos de los 23 fetos obtenidos a los 20 días de gestación, de las parejas 2, 4 y 6.

Respecto a los hallazgos microscópicos, encontramos que en las 6 parejas (crías y fetos) existen en el encéfalo múltiples áreas difusas de devastación por destrucción o ausencia de neuronas y fibras nerviosas (Figura 5) de tamaño y forma irregurar distribuídas en las distintas áreas del encéfalo como son la corteza (Figuras 6 y 7), núcleos grises centrales, hipocampo, cerebelo y tronco cerebral, y cerca de los ventrículos, acompañadas de focos de necrosis (Figura 8), con o sin linfocitos y macrófagos (Figura 9).

En diferentes áreas de los núcleos estriados hay pobreza de neuronas, que se ven poco diferenciadas, con núcleos vacuolados y pocas dentritas (Figura 10) o retraídas y picnóticas, como en los núcleos del puente (Figura 11).

En la substancia reticular, las fibras nerviosas son escasas, están fragmentadas y muchas han desaparecido; entre ellas existe edema, así como neuronas picnóticas y retraídas (Figura 12).

En el cerebelo de las crías recién nacidas y fetos, existe deficiente desarrollo, con escasas cisuras poco profundas. Las neuronas están disminuídas en número y poco diferenciadas, sin que puedan identificarse toda-



Figura 5. Imagen panorámica de un corre longitudinal de una porción de encéfalo de rata recién nacuda (pareja 1) que muestra parte del lóbulo frontoparietal, circunvolución límbica, hipocampo y parte de núcleos grises basales, con múltiples áreas difusas de devastación (flechas). Método de Masson. 10 x

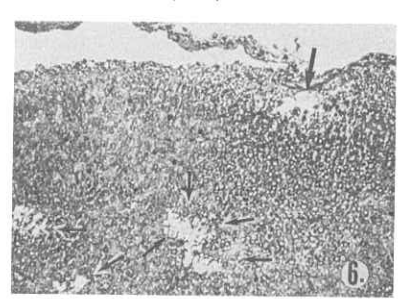


Figura 6. Mayor aumento de un campo de la figura anterior en la corteza parietal. Hay un área de devastación submeníngea y 3 más en el espesor de la corteza parietal con ausencia de células y fibras nerviosas destruidas por necrosis (flechas). Método de Masson. 20 x

vía las distintas capas y las células de Purkinje (Figura 13), entre ellas hay algunas área de devastación y congestión vascular meníngea.

Material Humano. Caso I. Como ya se ha dicho en la descripción del material empleado, este caso, que se ilustra en la figura 1 con la imagen macroscópica del encéfalo con el cerebelo y médula espinal, no se formaron las cisuras y circunvoluciones del cerebro (licencefalia); hay agenesia del lóbulo frontal izquierdo, sustituido por una cavidad irregular que se comunica por el ventrículo lateral de ese lado. La cavidad está ocupada por líquido cefalorraquídeo y cubierta por la leptomeninge que contiene abundantes

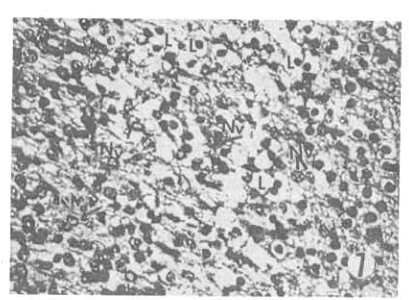


Figura 7. Porción a gran aumento de área de devastación evolutiva en núcleo estriado con neuronas poco diferenciadas, muchas con núcleos vacuolados (Nv), pocas adendritas y fibras nerviosas y presencia de linfocitos (L). Método argéntico de Barroso-Moguel. 100 x

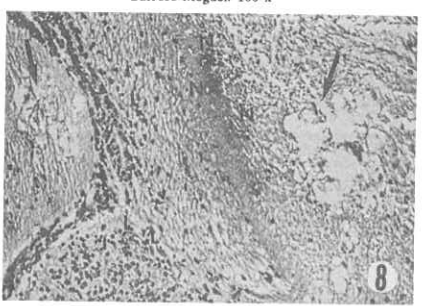


Figura 8. Porción encefálica de un feto de rata (pareja 2). Areas de devastación en el cuerpo calloso y fimbria del hipocampo (flechas) y amplia zona de necrosis (N), infiliración de linfocitos en la porción inferior de la microfotografía (L). Método argéntico de Barroso-Moguel. 80 x

vasos sanguíneos dilatados y hemorragias difusas sobre el lóbulo parietal y occipital. Un corte coronal del encéfalo en ese nivel nos demuestra, en la figura 14, la ausencia de cisuras y circunvoluciones, substancia gris cortical delgada con múltiples hemorragias puntiformes en todo el tejido nervioso cerebral; presencia en el lado izquierdo de una cavidad de paredes lisas, vecina al ventrículo lateral izquierdo que en otros cortes mostraba su intercomunicación directa, además, existe dilatación de los ventrículos lateral derecho, medio y acueducto de Silvio.

Caso 2. Se ilustra en la figura 2, en la que se ve el encéfalo con cisuras irregularmente profundas y

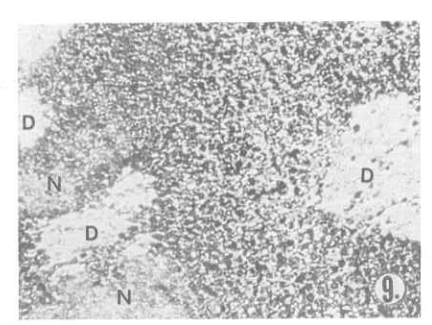


Figura 9. Núcleo estriado de rata recién nacida de la pareja 1, con extensas áreas de devastación (D), sin células y fibras nerviosas; además, hay neuronas pienóticas y zonas de necrosis (N). Método de Weigert. 80 x

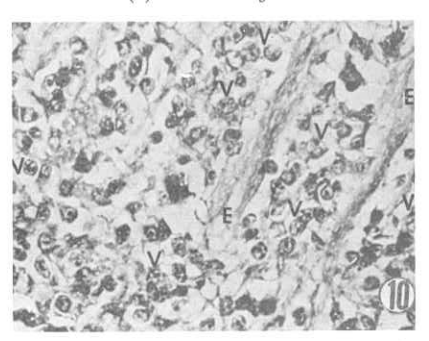


Figura 10. Núcleo estriado de rata recién nacida de la pareja 3. Hay pocas neuronas mal diferenciadas con escasas dendritas y con núcleos vacuolados (V). Además existe edema intersticial que separa los mal formados fascículos nerviosos (E). Método de Masson. 100 x.

circunvoluciones bien marcadas, pero con ausencia de la porción inferior de los lóbulos frontal y parietal izquierdos que no llegaron a formarse (agenesia), sustituídos por una cavidad ocupada por líquido cefalorraquídeo, comunicada con el ventrículo lateral del mismo lado y cubierta por delgada meninge. En los cortes sucesivos anteroposteriores se vieron los núcleos grises centrales pequeños pero con distribución normal. La substancia gris cortical media de promedio 3 mm de espesor.

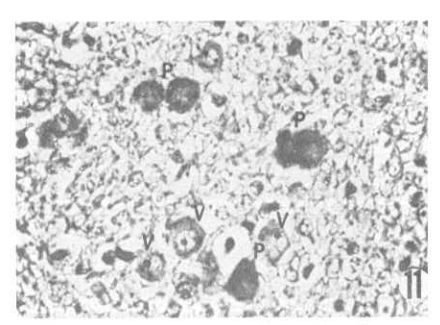


Figura 11. Núcleos del puente, de la misma rata de la figura anterior, con neuronas muy alteradas, picnóticas y retraídas (P), otras con vacuolización nuclear y degeneración del soma (V). Método argéntico de Barroso-Moguel. 100 x



Figura 12. Encéfalo de rata recién nacida de la pareja 3. La mayoría de las neuronas de la substancia reticular están destruídas, con retracción del soma y picnosis nuclear, entre fibras nerviosas alteradas y edema intersticial. Método de Barroso-Moguel. 100 x.

Caso 3. La figura 3 muestra el aspecto exterior frontal de una niña prematura de 7 meses, que murió 2 h después de nacer; no se formaron los huesos del cráneo (acrania), ni los hemisferios cerebrales, ni el cerebelo (anencefalia) y sólo existen porciones de los núcleos grises basales, cubiertos por meninges y cuero cabelludo con pelo. Además, hay ausencia de las dos primeras vértebras cervicales (que la hacen parecer sin cuello); de igual manera, presenta aracnodactilia manual y además edema en cara y resto del cuerpo. Su placenta presentó extensas áreas hemorrágicas.



Figura 13. Cerebelo con deficiente desarrollo de feto de la pareja 4. Sólo se han formado 2 cisuras con poca profundiada. Neuro-nas muy indiferenciadas, en menor número, sin ordenación de las 3 capas características y áreas difusas de devastación (D). Congestión meningea (M). Método argéntico de Barroso-Moguel. 10 x

Caso 4. La figura 4 demuestra un producto del sexo masculino de 8 meses, visto por la espalda, con espina bífida que abarca desde el cuello hasta la porción lumbar y favorece la salida de la médu-la espinal, líquido cefalorraquídeo y meninges produciendo el llamado mielo-meningo-cele (cérvico-toraco-lumbar). En la porción cervical el meningocele forma una bolsa meníngea más grande que la cabeza, comunicada con el IV ventrículo y llena de líquido cefalorraquídeo. Los huesos craneales son delgados, el encéfalo pesó 300 g con cisuras poco profundas y circunvoluciones estrechas. Cerebelo pequeño; los núcleos grises basales están mal definidos.

En el estudio microscópico de diferentes áreas del encéfalo (corteza, cerebelo, tronco y núcleos grises centrales), de los casos 1, 2 y 4, impregnados con los métodos de plata, encontramos neuronas inmaduras, poco diferenciadas como la que ilustra la figura 15 con escasas dendritas y cilindroeje que apenas inician su formación (Ci) conservando su tipo fetal; en el citoplasma del soma los grumos de Nissl forman densos e irregulares cúmulos dispersos. La cromatina nuclear es desigual, en tamaño y distribución; no hay presencia de neurofibrillas.

Discusión

Se sabe que el sistema nervioso durante el desarrollo embrionario (tanto en animales de experimentación como en humanos), se altera fácilmente por diferentes agentes o causas que interfieren en la múltiplicación,

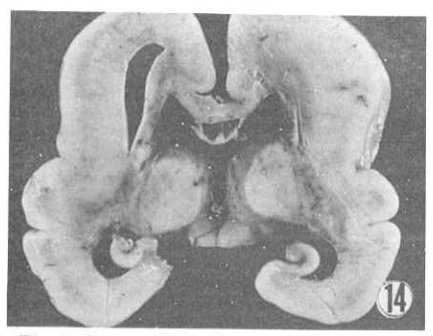


Figura 14. Corte coronal del encéfalo de la figura anterior que demuestra la ausencia de cisuras y circunvoluciones, corteza delgada y parte de la cavidad por ausencia del lóbulo frontal izquierdo. Gran dilatación de los ventrículos laterales, medio y acueducto de Silvio. Múltiples hemorragias hemisféricas y en núcleos grises centrales

ordenación y diferenciación celular, desencadenando lesiones teratológicas.

Estas alteraciones teratológicas pueden producirse también por lesiones agresivas de la madre hacia el producto, ocasionadas en nuestros casos, por solventes industriales, el thinner, inhalado durante la gestación y aún antes. Además por padecimientos de la madre gestante como: infecciones virales, radiaciones, algunos medicamentos, varias drogas, substancias químicas, pesticidas, herencia de anormalidades cromosómicas, alteraciones metabólicas (diabetes) intoxicación por metales (plomo, aluminio, cadmio, talio), que actúan durante los primeros días de la gestación, cuando se inicia el desarrollo del sistema nervioso, ¹⁰⁻¹⁵ e impiden o destruyen la diferenciación celular del neuroepítelio germinal.

Los diversos agentes agresivos, o un mismo agente producen distintos tipos de alteraciones (aún en la misma especie biológica), en diferentes momentos, lugares, etapas y tiempo de su desarrollo, según la duración, agresividad y patogénesis del factor desencadenante,16 tanto en animales de experimentación17 como en los humanos. 10,15 Algunos actúan de inmediato, otros pocos minutos, horas, días o tiempo de exposición después de ponerse en contacto con el embrión.13 Ocasionan desde degeneración hasta necrosis o anormalidades celulares, produciendo variadas lesiones en diferentes tejidos u órganos; como ejemplos: microencefalia (en los humanos entre los 13 y 16 días de gestación), así como licencefalia, hidrocefalia o anencefalia y una combinación o no de lesiones en el hipocampo y núcleos grises centrales.

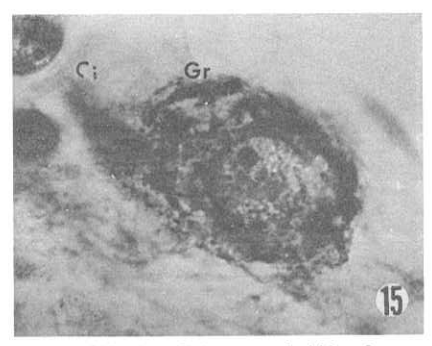


Figura 15. Microfotografía de neurona parietal del caso 2, poco diferenciada, con incipientes y escasas dendritas y cilindrocje que inicia su formación (Ci). En el soma los grumos de NIssl (Gr) forman densos cúmulos dispersos; aún no se han formado neurofibrillas. La cromatina nuclear tiene tamaño y distribución desigual. Método de Río-Hortega. 3000 x

Otro ejemplo lo tenemos en las radiaciones que ocasionan una rotura radial de la estructura neuroepitelial incipiente y las células pierden su ordenación y forman cúmulos redondeados (rosetas) con actividad mitósica desordenada. Los agentes químicos, entre ellos los hidrocarburos (como en nuestros casos), inhiben la multiplicación celular, su ordenación y madurez, seguida de autólisis y fagocitosis, tanto en hemisferios cerebrales (Figura 5) como en hipocampo, cerebelo, cuerpo estriado y puente. 13,15

Estos hallazgos demuestran la gran sensibilidad del neuroepitelio en sus primeras etapas de desarrollo y del mesencéfalo, a substancias que interfieren con la proliferación y orientación celular, comparada con las capas germinales del neuroepitelio en otras regiones del cerebro y cerebelo.¹²

Además, se producen lesiones en otros órganos y variaciones en la osificación del esqueleto¹⁶ y placentas que muestran con frecuencia hemorragias o necrosis difusas o totales.^{9,16}

Estas lesiones no son del todo específicas para un determinado agente agresivo, y pueden producirse múltiples combinaciones que alteren, además del encéfalo, a otros órganos, aparatos y sistemas (cardiovascular, esquelético, muscular, linfo-hematopoyético, endocrino, etc.).

Referencias

- Barroso-Moguel R. Alteraciones morfológicas producidas por inhalantes. Cuadernos Científicos CEMEF 1975; 2: 97-106.
- Costero I y Barroso-Moguel R. Alteraciones encontradas en gatos intoxicados experimentalmente con inhalación de solventes industriales. En: Inhalación Voluntaria de Solventes Industriales. Ed. Trillas. México. 1977; pp. 163-185.
- Costero I and Barroso-Moguel R. Cytological changes in cats exposed to industrial Solvents. Sharp Ch. W. and Carroll Th. (Eds): Voluntary Inhalation of Industrial Solvents. National Institute on Drug Abuse U.S. Department of Health, Educación and Welfare U.S.A. 1978; 246-275.
- Costero I y Barroso-Moguel R. Alteraciones microscópicas en el Sistema Nervioso Central de gatos y ratas albinas relacionables con intoxicación de solventes industriales (tolueno y thinner). Cuad. Cientif. CEMESAM México, 1978; 8: 91-122.
- Barroso-Moguel R, Aznar Ty Vázquez VE. Lesiones cerebelosas en humanos, gatos y ratas producidas por thinner y tolueno. Cuadernos Científicos CEMESAM México. 1980; 12: 137-169.
- Barroso-Moguel R, Villeda-Hernández J y Rubén M. Lesiones retinianas producidas experimentalmente en ratas por thinner. Gaceta Méd. Méx. 1987; 123: 213-217.
- Barroso-Moguel R y Romero DV. Thinner: Inhalación y Consecuencias. Edit. Fundación Invest. Soc. A.C. FISAC, Inst. Nac. Neurol. Neurocir. S. S. México. 1988; 200 pags.
- Barroso-Moguel R and Villeda-Hernández J. Experimental neuropathy produced in rats with industrial solvents (thinner). Arch. Invest. Méd. Méx. 1989; 20: 53-60.
- Mitsuro A, Seishiro H and Yoshiyasu I. Transfer of hexachlorobenzene (HCB) from mother to new-born baby through placenta and milk. Arch. Toxicol. 1985; 56: 195-200.
- Holmberg PC. Central-nervous-system defects born to mothers exposed to organic solvents during pregnancy. The Lancet. 1979. July 28: 177-179.
- Kucera J. Exposure to fat solvents; a possible cause of cerebral agenesis in man. J. Pediatrics. 1968; 72: 857-859.
- Méndez-Armenta M. Estudio Morfológico de Lesiones Cerebrales en Ratas Recién Nacidas de Progenitores Intoxicados por Inhalación Crónica de Thinner. Tesis de licenciatura UNAM. México. 1989; 72 págs.
- Johnson JM, Thompson DJ et al. The effect of prenatal procarbazine treatment of brain development in the rata. Teratology. 1985; 32: 203-212.
- Congenital Malformations, a CIBA Foundation Symposium. Edit. J. & A. Churchill, LTD London. 1960. 308 pp.
- Khera KS. Maternal toxicity: a possible etiological factor in embryo-fetal deaths and fetal malformations of rodent-rabbit species. Teratology. 1985; 31: 129-153.
- Krasavage JW and Katz VG. Developmental toxicity of ethylene glycol monopropyl ether in the rat. Teratology. 1 85; 32: 93-102.
- Mirkes PE, Greenaway JC, Hilton J and Brundrett R. Morphological and biochemical aspects of monofunctional phosphoramide mustard teratogenicity in rat embryos cultured in vitro. Teratology. 1985; 32-241-249.